

УДК 533.27

В. А. Шувалов<sup>1</sup>, В. Г. Тихий<sup>2</sup>, Л. П. Потапович<sup>2</sup>,  
А. И. Приймак<sup>1</sup>, Н. И. Письменный<sup>1</sup>, Г. С. Кочубей<sup>1</sup>

<sup>1</sup>Інститут технічної механіки Національної академії наук і Національного космічного агентства України, Дніпропетровськ

<sup>2</sup>Державне конструкторське бюро «Південне» ім. М. К. Янгеля, Дніпропетровськ

# Молекулярное загрязнение поверхностей КА при терmostатировании и выведении космической головной части ракеты-носителя на орбиту

Надійшла до редакції 14.04.06

Розроблено розрахунково-експериментальні процедури для інженерних оцінок рівнів чистоти поверхонь і маси молекулярного забруднення КА при термостатуванні космічної головної частини ракети-носія «Дніпро» повітрям високого тиску і на етапі виведення космічної головної частини на орбіту. Показано, що при термостатуванні космічної головної частини повітрям чистоти класу 5000 молекулярне забруднення поверхонь КА відповідає рівням  $A/65 \leq \xi \leq A/25$ , а на етапі виведення на орбіту маса часток конденсованої фази летких сполук на поверхнях КА за 930 с польоту лежить у межах  $0.333 \leq M_{\Sigma} \leq 2.690 \text{ мг/м}^2$ , що не пірше від рівня чистоти  $\xi \leq A/3.6$  за стандартом MIL STD 1246 C.

## ВВЕДЕНИЕ

Задача контроля и обеспечения заданного уровня чистоты поверхностей КА актуальна не только для условий эксплуатации на орбите, но и для этапов предстартовой подготовки и выведения космической головной части (КГЧ) ракеты-носителя на орбиту. Задача по сути является составной частью проблемы обеспечения длительной эксплуатации КА.

Есть прямая связь между уровнем молекулярного загрязнения и точностью реализации научно-технических программ, измерений, сроком и качеством функционирования бортовой аппаратуры и систем КА [14]. Молекулярное загрязнение поверхностей КА формируется на этапе наземной подготовки, при выведении и эксплуа-

тации КА на орбите. Загрязнение поверхностей КА на этапах предварительной подготовки, термостатирования и выведения КГЧ на орбиту может существенно изменить термооптические характеристики материалов, элементов конструкций бортовых систем. Следствием этого является ухудшение рабочих характеристик систем терморегулирования, солнечных отражателей и теплового баланса в целом. Загрязнение на поверхности солнечных батарей (СБ) — одна из причин уменьшения электрической мощности СБ; слои молекулярного загрязнения на поверхностях оптических систем вносят погрешности, существенно ослабляют сигналы датчиков — уменьшают сроки активной эксплуатации КА на орбите [12]. Эффективный контроль загрязнения, прогнозирование и обеспечение требуемого

уровня чистоты поверхностей элементов конструкций и бортовых систем является одним из элементов, предопределяющих ресурс, сроки активной эксплуатации КА на орбите.

Практически нет стандартизованных методик и процедур оценивания уровней молекулярного загрязнения поверхностей КА. Расчетно-экспериментальные оценки, как правило, основаны на интуиции исследователя.

Цель работы — разработать расчетно-экспериментальные процедуры оценки загрязняющего воздействия космической головной части ракеты-носителя «Днепр» на КА при термостатировании и выведения КГЧ на орбиту, дать инженерные оценки уровней чистоты поверхностей КА на основе стандартов MIL STD 1246 C, ECSS-Q-70-01A [13, 14].

#### СТРУКТУРА КОСМИЧЕСКОЙ ГОЛОВНОЙ ЧАСТИ РАКЕТЫ-НОСИТЕЛЯ «ДНЕПР»

Основными источниками загрязнения поверхностей КА, установленного в КГЧ ракеты-носителя (РН) «Днепр», являются:

- воздух системы термостатирования высокого давления (подается во внутренний объем КГЧ). Вместе с воздухом могут подаваться твердые частицы и масло в виде аэрозолей и паров;
- лакокрасочные покрытия и kleящиеся пленки на внутренних поверхностях головного обтекателя (ГО).

Схема размещения КА и структура КГЧ ракеты-носителя «Днепр» показана на рис. 1.

Для термостатирования КГЧ используется воздух класса чистоты ISO 6.7 по ISO 14644-1 ( $N_c \approx 5000$  по FED-STD-209E [13]). Воздух из системы термостатирования подается в ГО распылением через 16 форсунок. Поверхности 5, 6 и 7 КА «омываются» воздухом сверху вниз. Выход термостатирующего воздуха — в нижней части ГО.

Внутренняя поверхность оболочки ГО (диаметр  $D = 3000$  мм,  $h_1 = 5250$  мм) покрыта эмалью ЭП-525, нанесенной при изготовлении РН около 20 лет назад. Эмаль ЭП-525 — суспензия пигментов  $\text{Cr}_2\text{O}_3$  в растворе эпоксидной смолы Э-41 и смеси органических растворителей: 50 %-го раствора гексаметиледиамина в

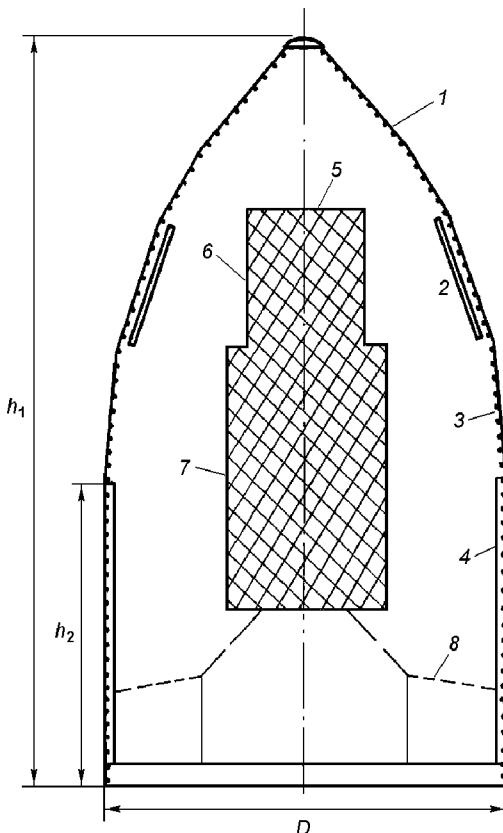


Рис. 1. Структура КГЧ ракеты-носителя «Днепр»: 1 — ГО, 2 — система термостатирования воздухом высокого давления, 3 — эмаль ЭП-525, 4 — «сэндвич», 5, 6, 7 — поверхности КА, 8 — дренажное устройство

этанолом спирте и смеси из ацетона (30 %), ксиола (40 %), бутилацетата (30 %) в этиловом спирте.

В нижней части КГЧ (высота  $h_2 = 1380$  мм) на краску нанесена липкая лента марки НИИКАМ-ПМ-ОА-Л, изготовленная на основе металлизированной полимицной пленки — «сэндвич».

Стравливание воздуха в атмосферу, вакуумирование объема КГЧ в полете осуществляется через дренажные отверстия и дренажное устройство, выполненное из фильтрующего материала марки ФПП-15-1.5(0.6) — слой ультратонких волокон диаметром 1.5 мкм, нанесенных на марлевую подложку из клеенного полотна (общая площадь около  $1.5 \text{ m}^2$ ).

## МОЛЕКУЛЯРНОЕ ЗАГРЯЗНЕНИЕ ПОВЕРХНОСТЕЙ КА ПРИ ТЕРМОСТАТИРОВАНИИ КОСМИЧЕСКОЙ ГОЛОВНОЙ ЧАСТИ

Для термостатирования КГЧ используется воздух класса чистоты  $N_c = 5000$  согласно классификации международного стандарта ISO14644-1 и Федерального стандарта США FED STD 209E. Предельное содержание частиц в 1 м<sup>3</sup> воздуха может быть определено по формуле [14]

$$N_{np} = 35.31 N_c (0.5 \text{ мкм}/r)^{2.2}, \quad (1)$$

где  $N_c$  — класс чистоты воздуха,  $r$  — размер частиц в мкм.

В работе [14] установлено, что число частиц размером не менее  $r$ , осевших на 0.1 м<sup>2</sup> площади за время  $t$  (сут) при нормальном падении, равно  $N = cp\tilde{N}_c^\beta t$ , где  $\tilde{N}_c = N_c(0.5 \text{ мкм}/r)^{2.2}$ ,  $c = 1.076$ ,  $p$  — функция скорости потока воздуха,  $\beta$  — показатель степени.

Для оценки уровня чистоты поверхности  $X_1$  (согласно классификации MIL STD 1246C) как функции числа частиц, осевших на горизонтальную плоскость  $\theta = 0^\circ$  ( $\theta$  — угол между внутренней нормалью к элементу поверхности  $n$  и вектором скорости потока термостатирующего воздуха  $U_\infty$ ), и времени  $t$  может быть использовано соотношение [14]

$$\lg N(r) = 0.926 \lg(rX_1) \lg(X_1/r) + \lg(\lg X_1 / \lg r). \quad (2)$$

При скорости потока воздуха  $U_\infty \geq 0.45$  м/с принято  $p = 578$ . Для РН «Днепр»  $U_\infty \geq 3.5$  м/с, для РН «Зенит» — от 1.5 до 2.0 м/с. Для частиц размером  $R \geq 5$  мкм в работе [14] получена эмпирическая оценка  $\beta = 0.773$ . С другой стороны, согласно [13] число частиц, осевших на единицу площади за  $t = 1$  сут для  $N_c = 100...10000$  пропорционально  $0.069N_c^{0.72}$  ( $\beta = 0.72$ ).

Расчет значений  $X_1$  ( $r = 1$ ,  $p = 578$ ) показал, что при неопределенности выбора  $\beta$  между 0.72 и 0.773 погрешность величины  $X_1$  не превышает 5 %.

Влияние угла атаки  $\theta$  иллюстрирует рис. 2. Значение  $\theta = 0$  соответствует горизонтальной плоскости,  $\theta = 90^\circ$  характеризует обтекание вертикальной, а  $\theta = 180^\circ$  — подветренной поверхности. Представленная на рис. 2 зависимость

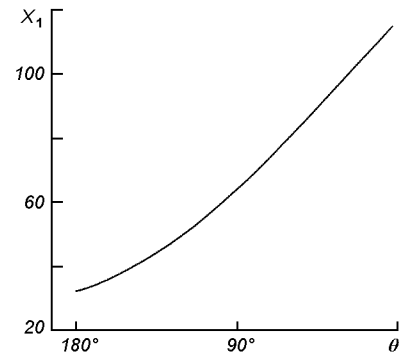


Рис. 2. Зависимость уровня чистоты  $X_1$  элемента обтекаемой поверхности КА от угла атаки  $\theta$  в потоке термостатирующего воздуха класса чистоты  $N_c = 5000$

$X_1(\theta)$  свидетельствует, что наихудший уровень чистоты поверхности КА при термостатировании КГЧ РН «Днепр» потоком воздуха класса чистоты  $N_c = 5000$  равен  $X_1 \approx 120$ .

В соответствии с MIL STD 1246C число частиц, осевших на единицу площади поверхности (0.1 м<sup>2</sup>) за сутки, может быть определено из соотношения (2) при  $t = 1$  сут, толщина слоя загрязнения, сформированного частицами размера  $r_i \leq r \leq r_{i+1}$  — по формуле

$$l_\Sigma = \int_0^\infty n(r) \frac{\pi r^3}{6} dr \approx \frac{1}{6} \sum_{i=0}^{k-1} \pi \left( \frac{r_i + r_{i+1}}{2} \right)^3 \int_{r_i}^{r_{i+1}} n(r) dr = \\ = \frac{1}{6} \sum_{i=0}^{k-1} \pi \left( \frac{r_i + r_{i+1}}{2} \right)^3 N(r_i \leq r \leq r_{i+1}) = \sum_{i=0}^{k-1} l_i, \quad (3)$$

а фактор загрязнения  $OF$  (мм<sup>2</sup>/м<sup>2</sup>) — площадь единицы поверхности, покрытой частицами размера  $r_i \leq r \leq r_{i+1}$ , — из соотношения

$$OF = \int_0^\infty n(r) \frac{\pi r^2}{4} dr = \\ = \sum_{i=0}^{k-1} \frac{\pi (r_i + r_{i+1})^2}{4} N(r_i \leq r \leq r_{i+1}) = \sum_{i=0}^{k-1} S_i, \quad (4)$$

где  $n(r)$ , м<sup>-3</sup> — плотность вероятности того, что частица имеет размер  $r$ ,  $N(r_1 \leq r \leq r_2)$ , м<sup>-2</sup> — число частиц с размерами между  $r_1$  и  $r_2$  на единице поверхности,  $l_i$ , нм — толщина слоя

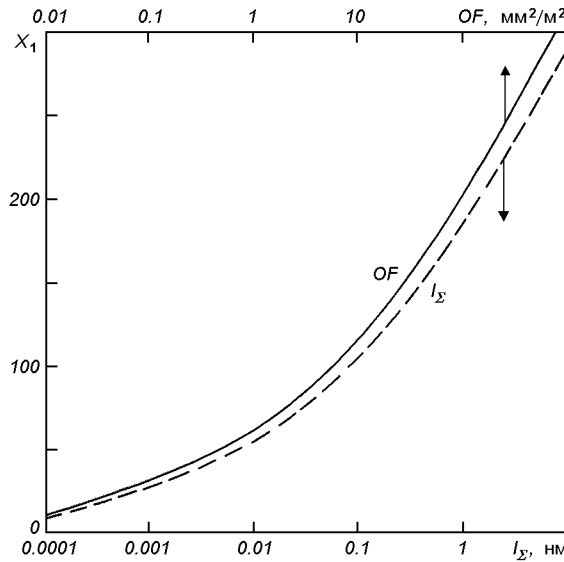


Рис. 3. Расчетные зависимости фактора загрязнения поверхности космического аппарата  $OF$  и толщины слоя загрязнения  $l_{\Sigma}$  от уровня чистоты  $X_1$

загрязнения, сформированного частицами размера  $r_i \leq r \leq r_{i+1}$ ,  $l_{\Sigma}$ , нм — толщина слоя загрязнения, сформированного частицами всех размеров ( $k$  сортов),  $S_i$ , мм<sup>2</sup>/м<sup>2</sup> — площадь покрытия частицами размера  $r_i \leq r \leq r_{i+1}$ .

Масса загрязнения  $M_{\Sigma}$ , кг/м<sup>2</sup> на обтекаемой поверхности определится по формуле

$$M_{\Sigma} = \rho l_{\Sigma}, \quad (5)$$

где  $\rho$ , кг/м<sup>3</sup> — плотность осевшего вещества.

Расчетные зависимости  $OF(X_1)$  и  $l_{\Sigma}(X_1)$  для  $r_i = 0.001 \dots 1000$  мкм представлены на рис. 3. Значения  $M_{\Sigma}(X_1)$  при  $\rho = 0.9$  г/см<sup>3</sup> (масло), а также уровни молекулярного загрязнения  $A$  по MIL STD 1246C [14] приведены на рис. 4. Уровню чистоты поверхности  $X_1 \approx 120$  ( $t = 1$  сут,  $\theta = 0$ , масло) соответствует уровень молекулярного загрязнения по MIL STD 1246C —  $A/65$ :  $M_{\Sigma} \approx 0.16$  мг/м<sup>2</sup>,  $l_{\Sigma} \approx 0.18$  нм,  $OF \approx 11.7$  мм<sup>2</sup>/м<sup>2</sup>.

С другой стороны по формуле [13] упрощенные оценки для воздуха класса чистоты  $N_c = 5000$  дают значение  $OF \approx 0.069N_c^{0.72} \approx 31.8$  мм<sup>2</sup>/м<sup>2</sup>, что соответствует уровню чистоты поверхности  $X_1 \approx 150$  и толщине слоя

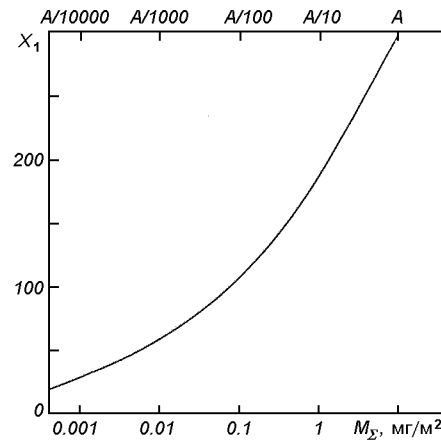


Рис. 4. Зависимость массы слоя загрязнения  $M_{\Sigma}$  и уровней молекулярного загрязнения  $A$  (по MILSTD1246C) от уровня чистоты поверхности  $X_1$

загрязнения  $l_{\Sigma} \approx 0.43$  нм, массе слоя загрязнения  $M_{\Sigma} \approx 0.4$  мг/м<sup>2</sup> (масло) и уровню  $A/25$  молекулярного загрязнения MIL STD 1246C [14] (рис. 3 и 4).

Таким образом, применение процедур, основанных на MIL STD 1246C [13, 14], дает предельные значения для уровня чистоты поверхности  $120 \leq X_1 \leq 150$ ; толщины слоя загрязнения  $0.18 \leq l_{\Sigma} \leq 0.43$  нм, массы загрязнения (масло)  $0.16 \leq M_{\Sigma} \leq 0.4$  мг/м<sup>2</sup>, что соответствует уровню молекулярного загрязнения поверхности КА  $A/65 \leq \xi \leq A/25$  при термостатировании КГЧ воздухом класса чистоты  $N_c = 5000$ .

Измерения на орбите свидетельствуют, что слой загрязнения  $l_{\Sigma} \leq 1.5$  нм вызывает пренебрежимо малые изменения коэффициентов пропускания и отражения в диапазоне длин волн  $\lambda_{\gamma}$  от 0.28 до 2.0 мкм [6].

Наличие тонких пленок молекулярного загрязнения  $l_{\Sigma} \approx 10$  нм (уровень  $A$ ) дает пренебрежимо малый эффект для поверхностей теплового контроля и солнечных батарей КА [12, 14]. Оптические поверхности более восприимчивы к загрязнению. Молекулярное загрязнение осаждается не в виде отдельного слоя, а в виде отдельных молекул, кластеров, молекулярных образований. Это характерно по крайней мере

для первых 100 монослоев ( $l_{\Sigma} < 10$  нм). Если молекулы, кластеры непрозрачны в оптическом диапазоне длин волн (например масло), то преобладающим эффектом для потери потока энергии электромагнитного излучения является рассеяние, особенно для видимого и УФ-диапазонов ( $\lambda_{\nu} = 0.2 \dots 0.7$  мкм, где  $\lambda_{\nu}$  — длина волны электромагнитного излучения).

Для рассеяния на частицах характерны три области [7].

1. Коротковолновая, когда размер частицы  $r$  много больше длины волны электромагнитного излучения (приближение геометрической оптики,  $r/\lambda_{\nu} \gg 1.0$ ). В этом случае

$$\frac{\Pi_r}{\Pi_i} \sim \frac{\sigma}{\sigma_m} \approx 1.0,$$

где  $\Pi_r$  — плотность потока рассеянной энергии электромагнитного излучения,  $\Pi_i$  — плотность потока падающей энергии,  $\sigma$  — эффективный поперечник рассеяния электромагнитного излучения частицей (ЭПР),  $\sigma_m = \pi r^2/4$  — геометрооптическое приближение ЭПР частицы (сфера).

2. Резонансная область рассеяния, когда размер частицы сравним с длиной волны ( $r/\lambda_{\nu} \approx 1$ ). Для сферы

$$\Pi_r/\Pi_i \sim \sigma/\sigma_m \approx U(r/\lambda_{\nu}),$$

где  $U(r/\lambda_{\nu})$  — осциллирующая функция, принимающая значения от  $10^{-4}$  до 3.6, когда  $0.1 \leq r/\lambda_{\nu} < 4$  [7, 14].

3. Длинноволновая область (рэлеевское рассеяние), когда  $r/\lambda_{\nu} \ll 1.0$

$$\Pi_r/\Pi_i \sim \sigma/\sigma_m \approx 9(\pi r/\lambda_{\nu})^4.$$

Для частиц с характерным размером  $r$  от 0.1 до 1000 мкм в видимой и УФ-части спектра реализуется коротковолновое рассеяние (приближение геометрической оптики). Для частиц размером от 0.001 до 0.01 мкм в оптическом диапазоне длин волн — рэлеевское (длинноволновое) рассеяние.

Фильтр тонкой очистки системы термостатирования воздухом высокого давления с эффективностью 99.9999 % экранирует термостатируемый объем КГЧ РН «Днепр» от частиц размером  $r \geq 0.01$  мкм. Молекулярное загрязнение формируют частицы размером от 0.001 до

0.01 мкм. Для этих частиц при  $t = 1$  сут из выражений (4) и (5) следует  $l_{\Sigma} \leq 6.4 \cdot 10^{-6}$  нм и  $M_{\Sigma} \leq 5.8 \cdot 10^{-6}$  мг/м<sup>2</sup> (масло). Максимальные потери потока энергии электромагнитного излучения видимого и УФ-спектров ( $0.2 \leq \lambda_{\nu} \leq 1.0$  мкм) меньше чем 0.0055, т. е. молекулярным загрязнением такого уровня на оптических поверхностях КА можно пренебречь.

## МОЛЕКУЛЯРНОЕ ЗАГРЯЗНЕНИЕ ПОВЕРХНОСТЕЙ КА ПРИ ВЫВЕДЕНИИ КОСМИЧЕСКОЙ ГОЛОВНОЙ ЧАСТИ НА ОРБИТУ

В полете при выведении КГЧ на орбиту оболочка ГО нагревается до температуры около 130°. Расчетная циклограмма изменения температуры оболочки ГО за 930 с полета представлена на рис. 5 (кривая 1). Динамику процессов в объеме КГЧ характеризуют два явления: газовыделение летучих компонентов при термической деструкции лакокрасочных и органических материалов и покрытий внутренних поверхностей КГЧ и вакуумирование объема через дренажную систему и негерметичности отсеков ГО. Процедура физического моделирования динамики процесса газовыделения в объеме КГЧ включает несколько этапов — моделирование динамики изменения давления, исследование процессов потери массы органическими материалами КГЧ вследствие их термической деструкции и конденсация летучих фракций на холодных поверхностях КА.

Условиями физического моделирования процессов газовыделения в объеме КГЧ и термической деструкции органических материалов являются следующие.

1.  $P_0^{(H)} \approx P_0^{(M)}$  — равенство давлений в объеме в момент начала процесса термической деструкции органических материалов.

2.  $T_W^{(H)}(t_H) \approx T_W^{(M)}(t_M)$  — равенство температур оболочки ГО (Al) в полете и металлической подложки образца (Al) в модельном эксперименте.

3.  $V_p^{(M)}/V_{0\Sigma}^{(M)} \approx V_{\text{ГЧ}}^{(H)}/V_{0\infty}^{(H)}$  — равенство отношений рабочего объема  $V_p^{(M)}$  к объему ресивера  $V_{0\Sigma}^{(M)}$  (бустерная емкость) в модельном эксперименте (индекс «M») и объема КГЧ —  $V_{\text{ГЧ}}^{(H)}$  к объему пространства  $V_{0\infty}^{(H)}$ , прилегающего к КГЧ

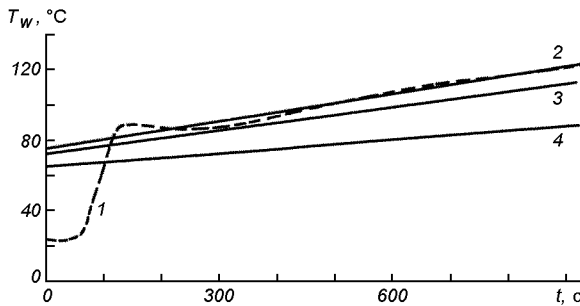


Рис. 5. Температурные циклограммы материалов КГЧ за 930 с: 1 — ГО, 2 — подложка (Al), 3 — эмаль ЭП-525, 4 — липкая лента НИИКАМП-ПМ-ОА-Л (образец «сэндвич»)

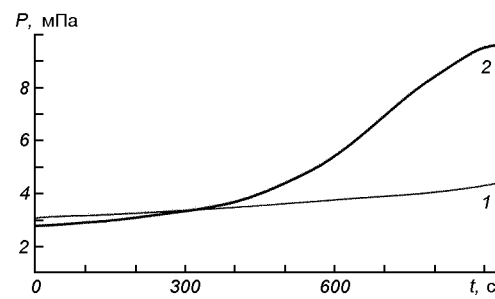


Рис. 6. Изменение парциального давления летучих компонентов продуктов термодеструкции органических материалов в условиях модельного эксперимента: 1 — эмаль ЭП-525, 2 — «сэндвич»

в условиях полета (индекс «Н»).

4.  $g_M(t_M) \approx g_H(t_H)$  — равенство удельных потоков газовой фазы, испаряющейся в единицу времени с единицы поверхности при термодеструкции органических материалов.

Экспериментальные исследования проводились на плазмогазодинамическом стенде ИТМ. Образцы испытываемых материалов размером  $65 \times 65 \text{ мм}$  — эмаль ЭП-525 на алюминиевой подложке и «сэндвич» закрепляли на поверхности термостата с омическим подогревом, помещенного в вакуумированный отсек объемом  $V_p^{(M)} \approx 0.0144 \text{ мм}^3$ . Отсек посредством вакуумпроводка соединен с ресивером (бустерная емкость) объемом  $V_{0\Sigma}^{(M)} \approx 7.5 \text{ м}^3$ . В ресивере с помощью высокопроизводительной безмасляной системы откачки поддерживалось постоянное давление на уровне 100 мкПа.

Испытываемые образцы дренированы миниатюрными термопарами хромель-копель диаметром около 0.1 мм.

На рис. 5 представлены циклограммы изменения температур компонентов образцов за 930 с. Кривая 2 — циклограмма  $T_W^{(M)}(t_M)$  алюминиевой подложки образца, 3 — эмаль ЭП-525, 4 — пленка НИИКАМ-ПМ-ОА-Л (образец «сэндвич»). Приведенные циклограммы изменения температуры образцов свидетельствуют, что условие 2 выполняется при  $t \geq 200 \text{ с}$  ( $t_H = t_M$ ). Условие 3 выполняется, если принять, что линейные размеры пространства, прилегающего к КГЧ  $V_{\Gamma\text{Ч}}^{(H)} \approx 20.28 \text{ м}^3$ , на порядок превосходят линейные размеры ГО. По оценкам изменения

давления воздуха в объеме КГЧ в полете и результатам измерения парциальных давлений в модельном эксперименте (рис. 6) началу процесса газовыделения (вследствие термодеструкции органических материалов) соответствует  $P_0^{(H)} \approx P_0^{(M)} \sim 3 \text{ мПа}$  ( $t_{0M} \approx 200 \text{ с}$ ).

Из условия равенства удельных потоков массы материала, испаряющегося за время  $\Delta t$  в модельном эксперименте и в полете, следует

$$Q_H = Q_M \frac{A_H \cdot \Delta t_H}{A_M \cdot \Delta t_M}.$$

Здесь  $Q_j$  — поток продуктов газовыделения испаряющегося материала ( $j = H, M$ ),  $A_H, A_M$  — площади покрытия поверхности КГЧ и образца соответственно. С учетом условия для проводимости вакуумпроводка [10]:  $U_H = Q_H / \Delta P_H$  или  $U_H = Q_H / P_H$  ( $P_H \gg P_{0\Sigma}$ ,  $P_{0\Sigma}$  — давление в бустерной емкости или окружающем КГЧ пространстве) следует

$$P_H = \frac{Q_H}{U_H} \approx P_M \frac{U_M}{U_H} \cdot \frac{A_H}{A_M} \cdot \frac{\Delta t_H}{\Delta t_M}.$$

Для давления в объеме КГЧ с учетом неоднородности покрытия внутренних поверхностей ГО получим

$$P_\Sigma^{(H)} \approx \left( P_{kp}^{(M)} \cdot \frac{A_{kp}^{(H)}}{A_{kp}^{(M)}} + P_{cd}^{(M)} \cdot \frac{A_{cd}^{(H)}}{A_{cd}^{(M)}} \right) \cdot \frac{U_M}{U_H} \cdot \frac{\Delta t_H}{\Delta t_M}$$

или

$$P_\Sigma^{(H)} \approx \gamma_{kp} \cdot P_{kp}^{(M)} + \gamma_{cd} \cdot P_{cd}^{(M)}, \quad (6)$$

где

$$\gamma_{\text{кр}} = \frac{U_M}{U_H} \cdot \frac{A_{\text{кр}}^{(H)}}{A_{\text{кр}}^{(M)}} \cdot \frac{\Delta t_H}{\Delta t_M},$$

$$\gamma_{\text{сд}} = \frac{U_M}{U_H} \cdot \frac{A_{\text{сд}}^{(H)}}{A_{\text{сд}}^{(M)}} \cdot \frac{\Delta t_H}{\Delta t_M},$$

индексы «кр» и «сд» относятся к покрытию из эмали ЭП-525 и покрытию «сэндвич». При выполнении четырех условий моделирования соотношение (6) характеризует динамику изменения давления в объеме КГЧ при термодеструкции органических материалов внутренних поверхностей ГО в полете.

Оценки  $P_{\Sigma}^{(H)}$  проведены для вязкостного и молекулярного (как предельных) режимов вакуумирования объема КГЧ. Величина  $U_M$  определена опытным путем по контролируемому натеканию азота в рабочий отсек методом постоянного давления [4, 10] —  $U_M \approx 0.0309 \text{ м}^3/\text{с}$ . Проводимость КГЧ  $U_H$  определялась как сумма проводимостей дренажных отверстий ГО и устройства 8 на рис. 1:  $U_H \approx \mu_{\text{др}} U_{\text{др}} + \mu_{\Phi} U_{\Phi}$ . Для перепада давления на фильтре  $\Delta P \leq 5.8 \text{ Па}$  коэффициент расхода принят равным  $\mu_{\Phi} \approx 0.0032$ . Для дренажных отверстий и щелей КГЧ  $\mu_{\text{др}} \approx 1.0$ . Оценки выполнены для средних за  $\Delta t \approx 930$  с значений парциальных давлений в модельном эксперименте  $P_{\text{кр}}^{(M)} \approx 3.76 \text{ мПа}$  и  $P_{\text{сд}}^{(M)} \approx 5.72 \text{ мПа}$  (рис. 6). При  $A_{\text{кр}}^{(H)} \approx 22.5 \text{ м}^2$  и  $A_{\text{сд}}^{(H)} \approx 13.0 \text{ м}^2$  условиям модельного эксперимента соответствует среднее суммарное давление в КГЧ  $P_{\Sigma}^{(H)} \approx 0.389 \text{ Па}$  за  $\Delta t \approx 930$  с.

Основными компонентами газовой смеси, образующейся при нагревании отверженных эпоксидных и фенольных смол до температуры 102 и 132 °С, являются тяжелые углеводороды с массовыми числами  $m \approx 80, 82$  и  $84$  [1, 11]. Поэтому при расчетах  $\lambda_{\text{ср}}$  использовались значения критического диаметра молекул тяжелых углеводородов из [5, 9]. Экспериментальные исследования общей потери массы образцов органических материалов и массы конденсированной фазы (КФ) летучих соединений газовыделения проводились с применением методик и требований стандарта ECSS-Q-70-01A [13].

Для снижения уровня газовыделений на практике проводится термовакуумная обработка (ТВО) узлов КГЧ — экспозиция при температуре +60° в течение 48 ч. В модельном экспери-

менте ТВО включала экспозицию испытуемых образцов в течение 48 ч при температуре +60° и давлении 1 мПа.

Доля конденсируемой фазы продуктов газовыделения эмали ЭП-525 составила: без ТВО — 0.024 % или  $\mu_{\text{КФ}} \approx 22.08 \text{ мг}/\text{м}^2$  и 0.02 % после ТВО ( $\mu_{\text{КФ}} \approx 18.41 \text{ мг}/\text{м}^2$ ). Для покрытия «сэндвич» соответственно — 0.114 % без ТВО ( $\mu_{\text{КФ}} \approx 95.17 \text{ мг}/\text{м}^2$ ) и 0.062 % после ТВО ( $\mu_{\text{КФ}} \approx 53.66 \text{ мг}/\text{м}^2$ ). Согласно стандарту ECSS-Q-70-01A уровень КФ из материалов для космического применения не должен превышать 0.1 %. Приведенные данные по сути характеризуют минимальные и максимальные плотности потоков КФ с поверхности КГЧ.

При среднем давлении в рабочем объеме КГЧ  $P_{\Sigma}^{(H)} \approx 0.389 \text{ Па}$  для характерных размеров элементов конструкции КА и ГО рис. 1 (нижний параллелепипед — высота 1.8 м, в основании квадрат со стороной 1.1 м; верхний параллелепипед — высота 0.97 м, в основании квадрат со стороной 0.9 м; расстояние между стенками ГО и поверхностями КА около 0.95 м) число Кнудсена принимает значения  $0.001 \leq Kn \leq 0.1$ . Согласно [3] это соответствует режиму течения со скольжением — диффузной модели переноса частиц КФ в объеме КГЧ.

Для приближенной оценки осаждения потоков КФ газовыделений органических материалов КГЧ на поверхности КА может быть использовано решение задачи о диффузии потока частиц через слой вещества толщиной  $L$  (воздух между стенками ГО и поверхностями КА) [2, 8]. Предполагается, что частицы КФ рассеиваются только внутри слоя воздуха, а отклоненный поток уходит из рассматриваемого объема вследствие соударений КФ с молекулами воздуха. Реализуется стационарный режим.

Масса частиц КФ, осевших на поверхности 5, 6, 7 (рис. 1) КА площадью  $A_i$  за время  $\Delta t$  при термодесорбции их с поверхности КГЧ площадью  $A_k$ , определится выражением

$$M_{\Sigma_i} = \frac{\sum M_k^{(\text{КФ})} A_k}{A_i} f_i(Kn_i), \quad (7)$$

где  $M_k^{(\text{КФ})}$  — поток массы КФ продуктов газовыделения с поверхности КГЧ площадью  $A_k$  за  $\Delta t \approx 930$  с.

В приближении плоского слоя толщиной  $L$  для функции  $f_{1i}(Kn_i)$  могут быть использованы решения [2]

$$f_{1i}(Kn_i) = \frac{1}{1 + Kn_i^{-1}} = \frac{1}{1 + L_i/\lambda_{\text{КФ}}} \quad (8)$$

или

$$f_{2i}(Kn_i) = \frac{1}{1 + \frac{4}{15} \frac{1}{BKn_i}} = \frac{1}{1 + 0.316 L_i/\lambda_{\text{КФ}}} \quad (9)$$

где  $B = 38/45$  для многоатомных молекул КФ [8].

В приближении цилиндрического слоя между стенками ГО и поверхностями КА решение для функции  $f_{3i}(Kn_i)$  может быть представлено в виде [8]

$$f_{3i}(Kn_i) = \frac{1}{1 + 4/(15BKn_i) \ln R_K^{(\text{ГЧ})}/R_i^{(\text{КА})}} \approx \frac{1}{1 + 0.316 \lambda_{\text{КФ}}/R_i^{(\text{КА})} \ln R_K^{(\text{ГЧ})}/R_i^{(\text{КА})}}. \quad (10)$$

Здесь  $R_i^{(\text{КА})}$  — характерный размер облучаемого элемента конструкции КА,  $R_K^{(\text{ГЧ})}$  — характерный размер облучающего элемента конструкции КГЧ. Предполагается, что  $R_i^{(\text{КА})} < R_K^{(\text{ГЧ})}$  и  $T_w^{(\text{КА})} < T_w^{(\text{ГЧ})}$ . Рассчитанные с использованием формул (7)–(10) значения массы частиц КФ, осевших на поверхностях 5, 6, 7 КА (рис. 1) за 930 с при выведении КГЧ на орбиту приведены в таблице.

При расчетах в  $f_{3i}(Kn_i)$  для  $R_i^{(\text{КА})}$  использовались значения эквивалентных радиусов — оснований элементов конструкции КА (верхнего и нижнего параллелепипедов).

Приведенные в таблице значения  $M_{\Sigma i}$  свидетельствуют, что максимальные и минимальные

Масса  $M_{\Sigma i}$  частиц КФ, осевших на поверхностях КА за 930 с при выведении КГЧ на орбиту

$i$	$M_{\Sigma i}, \text{ мг/м}^2$					
	$i = 5$		$i = 6$		$i = 7$	
	min	max	min	max	min	max
1	0.333	0.404	0.487	0.584	0.349	0.552
2	1.040	1.251	0.1386	1.663	0.949	1.501
3	—	—	0.908	1.0911	1.705	2.690

уровни молекулярного загрязнения поверхностей КА за 930 с полета из-за термодеструкции органических материалов КГЧ лежат в пределах от 0.333 до 2.690  $\text{мг/м}^2$ , что не хуже уровня чистоты A/3.6 стандарта MIL STD-1246C [14].

## ЗАКЛЮЧЕНИЕ

Разработаны расчетно-экспериментальные процедуры для инженерных оценок уровня чистоты и массы слоя молекулярного загрязнения поверхностей КА на этапах термостатирования КГЧ воздухом высокого давления заданного класса чистоты и выведения КГЧ на орбиту. Процедуры разработаны на основе и с применением методик и требований стандартов MIL STD-1246C и ECSS-Q-70-01A. Показано, что при термостатировании КГЧ ракеты-носителя «Днепр» воздухом класса чистоты  $N_c = 5000$  предельные значения рассматриваемых параметров составляют: уровень чистоты поверхностей КА  $120 \leq X_i \leq 150$ , толщина слоя загрязнения  $0.18 \leq l_{\Sigma} \leq 0.43 \text{ нм}$ , масса слоя загрязнения (масло)  $0.16 \leq M_{\Sigma} \leq 0.4 \text{ мг/м}^2$ , что соответствует уровню молекулярного загрязнения поверхностей A/65  $\leq \xi \leq A/25$  согласно стандарту MIL STD-1246C. Масса частиц КФ, осевших на поверхностях КА вследствие термодеструкции органических материалов и покрытия поверхностей ГО за 930 с полета при выведении КГЧ на орбиту, лежит в пределах  $0.333 \leq M_{\Sigma} \leq 2.69 \text{ мг/м}^2$ , что не хуже уровня чистоты  $\xi \leq A/3.6$  в соответствии с MIL STD-1246C.

- Бишоп У. Ф., Минкович У. Дж. Скорость разложения фенольной смолы // Ракетная техника и космонавтика. — 1973. — 11, № 4.—С. 27—34.
- Байд Дж., Уотсон К., Уэлч Дж. Физическая теория газовой динамики. — М.: Мир, 1968.—556 с.
- Девиен М. Течение и теплообмен разреженных газов. — М.: Изд-во иностр. лит-ры, 1962.—187 с.
- Дэшман С. Научные основы вакуумной техники. — М.: Мир, 1964.—716 с.
- Жирифалько Р. Статистическая физика. — М.: Мир, 1976.—530 с.
- Климук П. И., Забелина И. А., Гоголев В. А. Визуальные наблюдения и загрязнение оптики в космосе. — Л.: Машиностроение, 1983.—220 с.
- Кобак В. О. Радиолокационные отражатели. — М: Сов. радио, 1975.—248 с.
- Кошмаров Ю. А., Рыжков Ю. А. Прикладная динамика

- разреженных газов. — М.: Машиностроение, 1977.—184 с.
9. Краткий справочник физико-химических величин / Под ред. А. Н. Равделя, А. М. Пономаревой. — Л.: Химия, 1983.—232 с.
10. Кучеренко Е. Т. Справочник по физическим основам вакуумной техники. — Киев: Вища шк., 1981.—264 с.
11. Нейман М. Б., Кварская Б. М., Стрижкова А. С. и др. О механизме термической деструкции отверженных эпоксидных смол // Докл. АН СССР.—1960.—135, № 5.—С. 1147—1149.
12. Шувалов В. А., Кочубей Г. С., Приймак А. И., Письменный Н. И. Потери мощности солнечных батарей высокоорбитальных космических аппаратов из-за воздействия околоспутниковой среды // Космічна наука і технологія.—2004.—10, № 4.—С. 39—49.
13. ECSS-Q-70-01 A-2002. Space product assurance. Cleanliness and contamination control.
14. Tribble A. C., Boyadjian B., Davis J., et al. Contamination control engineering design guidelines for the aerospace community // NASA Contractor Report.—1996.—N 4740.—126 p.

**MOLECULAR CONTAMINATION OF SPACECRAFT SURFACES IN THERMOSTATIC CONTROL AND ORBITAL INJECTION OF LAUNCH VEHICLE NOSE CONE**

*V. A. Shuvalov, V. G. Tykhyy, L. P. Potapovych,  
A. I. Pryimak, N. I. Pismenniy, G. S. Kochubey*

We developed calculation and experimental procedures for engineering evaluation of surface roughness levels and mass of spacecraft molecular contamination level in thermostatic control of the Dnepr LV's nose cone by high-pressure air and in orbital injection of the space head module. It is shown that spacecraft surface molecular contamination corresponds to  $A/65 \leq \xi \leq A/25$  levels in thermostatic control of the space head module by air of a purity class of 5000, and the particle mass of condensed phase of volatile compounds deposited on spacecraft surfaces during 930 seconds of flight is within  $0.333 \leq M_{\Sigma} \leq 2.690 \text{ mg/m}^2$  in orbital injection, which is not worse than a purity level of  $\xi \leq A/3.6$  according to the MILSTD 1246C standard.